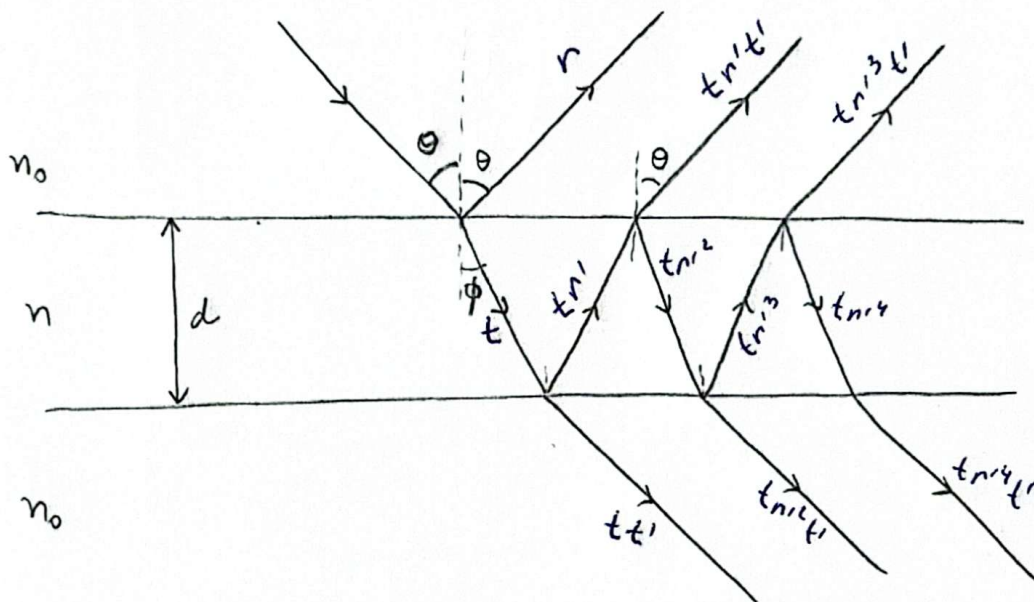


Interferência em filmes finos:



θ : ângulo de incidência
= ângulo de observação!

Amplitudes de reflexos e transmissões: $\left\{ \begin{array}{l} \text{De } n_0 \text{ p/ } n: r, t \\ \text{De } n \text{ p/ } n_0: r', t' \end{array} \right.$

- Superposição de infinitas reflexões (ou transmissões): padrão de interferência calculado por uma sínus convergente.

↳ v. aulas Hafner
(opcional)

- Vamos nos restringir à interferência das duas primeiras reflexões normais (aproximação melhor para menores refletividades).

(2)

Lembra da intensidade de cimento da interferência de duas fontes:

$$I = I_1 + I_2 + 2 \sqrt{I_1 I_2} \cos \Delta \underbrace{\hat{E}_1 \cdot \hat{E}_2},$$

onde

$$\Delta = \underbrace{k_2 r_2 - k_1 r_1}_{\frac{2\pi}{\lambda_2} r_2 - \frac{2\pi}{\lambda_1} r_1} + \varphi_2 - \varphi_1$$

$\hat{E}_1 \perp \hat{E}_2$ não interferem,

\therefore TE não interfere com
TE, e TM não interferem
com TM!

$$\frac{2\pi}{\lambda_2} r_2 - \frac{2\pi}{\lambda_1} r_1 = \frac{2\pi}{d_0} (n_2 r_2 - n_1 r_1)$$

Comprimento
de onda no vazio

$n_i r_i$: caminho
óptico!

No nosso caso, entao, nja

$\Lambda = n \cdot r_{\text{pelicula}} - n_0 r_0$ a diferença de caminho óptico entre os dois primeiros fios reflectidos.

Analise de frentes de onda
+ trigonometria } $\Rightarrow \Lambda = 2 n d \cos \phi$.

detalhes:
v. Geierj

Considerando somente a diferença de fase devida à difusão de caminhos ópticos, teremos:

$$\Delta = \begin{cases} m\lambda_0, m \in \mathbb{Z} : \text{interferência constutiva} \\ (m + \frac{1}{2})\lambda_0, m \in \mathbb{Z} : \text{interferência destrutiva} \end{cases}$$

ponim:

$$\Delta = \frac{2\pi}{\lambda_0} \cdot \Lambda + (\varphi_2 - \varphi_1),$$

e $\varphi_2 - \varphi_1$ depende das fases das amplitudes $t_{n't'}$ e $n!$

↳ Observando $r'n$ e $t'_{n'}$ (v. slides) para pequenos ângulos ($\therefore < \theta_3$)

notarmos, para cada interface:

$$\left\{ \begin{array}{l} n_0 \rightarrow n : r_{TE} < 0 \quad \& \quad r_{TM} > 0 \\ n \rightarrow n_0 : r'_{TE} > 0 \quad \& \quad r'_{TM} < 0 \end{array} \right\} \quad \therefore \text{para cada polarização, TE ou TM, haverá defasagem de } \pi!$$

$$\therefore \Delta = \frac{2\pi}{\lambda_0} \cdot \Lambda \pm \pi$$

$$= \frac{2\pi}{\lambda_0} \left(\Lambda \pm \frac{\lambda_0}{2} \right)$$

$$\hookrightarrow = \begin{cases} m\lambda_0, m \in \mathbb{Z} : \text{int. const.} \\ (m + \frac{1}{2})\lambda_0, m \in \mathbb{Z} : \text{int. dest.} \end{cases}$$

luz, considerando todas as origens de desfasagem:

- Interferência constutiva: I_R máxima, I_T mínima

$$n_{21} = \frac{n}{n_0} \quad \hookrightarrow 2nd \cos\phi = 2d \sqrt{n_{21}^2 - n_0^2 \sin^2\theta} = \left(m + \frac{1}{2}\right) \lambda_0, \quad m \in \mathbb{Z}.$$

- Interferência destrutiva: I_R mínima, I_T máxima

$$n_{21} = \frac{n}{n_0} \quad \hookrightarrow 2nd \cos\phi = 2d \sqrt{n_{21}^2 - n_0^2 \sin^2\theta} = m \lambda_0, \quad m \in \mathbb{Z}.$$

*CUIDADO: estes resultados valem para incidência $n_0 \rightarrow n \rightarrow n_0$!

Vejamos a dependência de cada variável:

- θ : ângulo da incidência e de observação,
- λ_0 : comprimento de onda da luz incidente no vácuo,
- n : índice de refração da pelvula (relativo a n_0),
- d : espessura da pelvula.

$$1) 2\sqrt{n^2 - n_m^2 \sin^2 \theta} = \left\{ \begin{array}{l} m \frac{\lambda_0}{d} \\ (m + \frac{1}{2}) \frac{\lambda_0}{d} \end{array} \right\} \quad \therefore \text{se } d \gg \lambda_0, \text{ não observamos interferência!}$$

(luz visível: $\lambda_0 \approx 10^{-6} \text{ m}$)

2) Incidência/observação ≈ normal ($\theta \approx 0$):

$$\Rightarrow 2nd = \left\{ \begin{array}{l} m \lambda_0 \text{ p/ destrutiva,} \\ (m + \frac{1}{2}) \lambda_0 \text{ p/ construtiva,} \end{array} \right.$$

↳ para $m=0$ e $d = \frac{\lambda_0}{4n}$: $\left\{ \begin{array}{l} \text{constitutiva para } n_0/n_1/n_2, \\ \text{destrutiva para } n_0/n_1/n_2 > n_0! \end{array} \right.$

peliculas
anti-refletoras!!

↳ para vários m 's: franjas (máximas e mínimas) de interferência conforme espessura da película varia! → ANéis DE NEWTON, P.E.

3) Diferentes padrões para diferentes comprimentos da onda:

↳ efeitos de cor para incidência não-monochromática → BOLHOS DE SABÃO,
PELICULAS DE SELO

4) Diferentes ângulos de observação

para I_{max} de dados d , pois diferentes m 's

EN AFETO ETC